

Fig. 1.

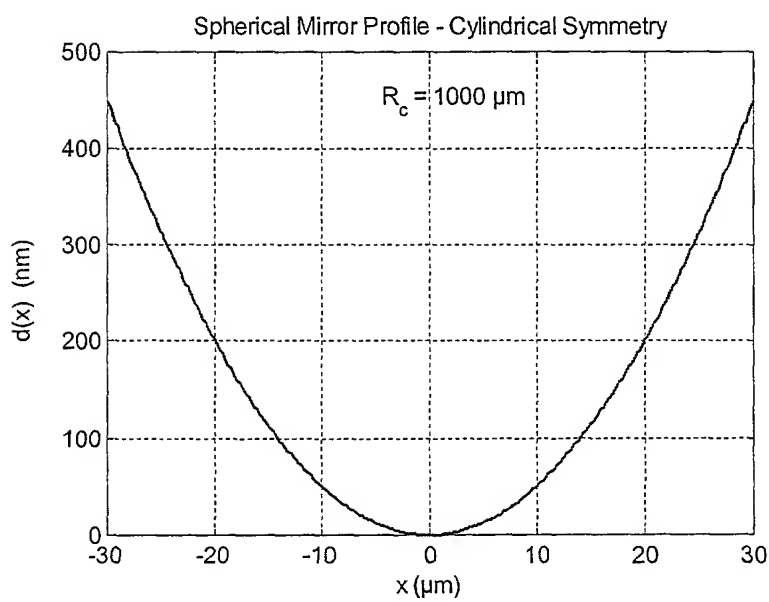


Fig. 2.

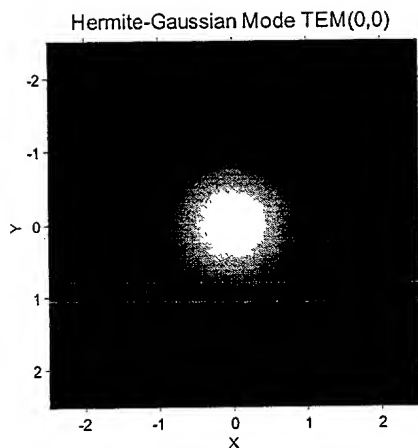


Fig. 3A

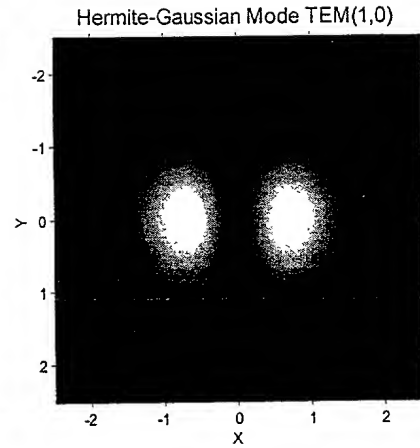


Fig. 3B

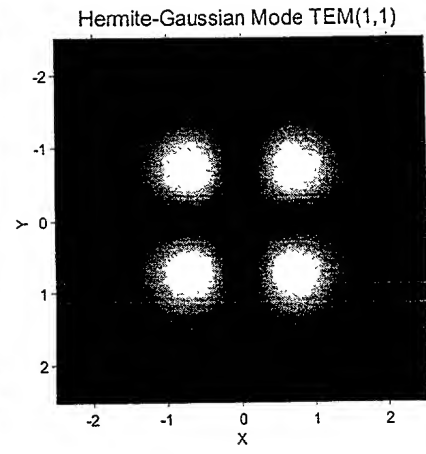


Fig. 3C

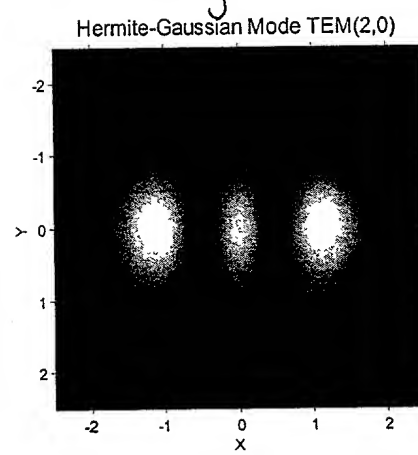


Fig. 3D

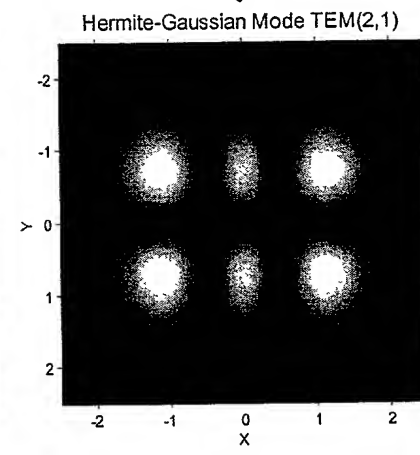


Fig. 3E

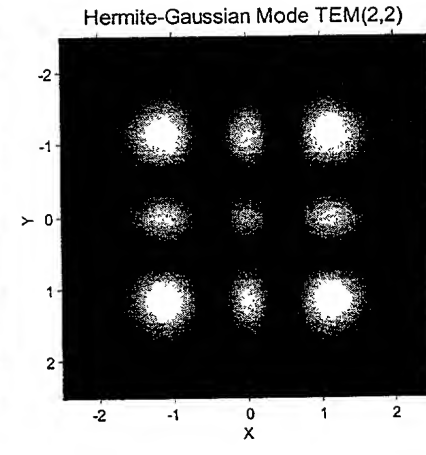


Fig. 3F

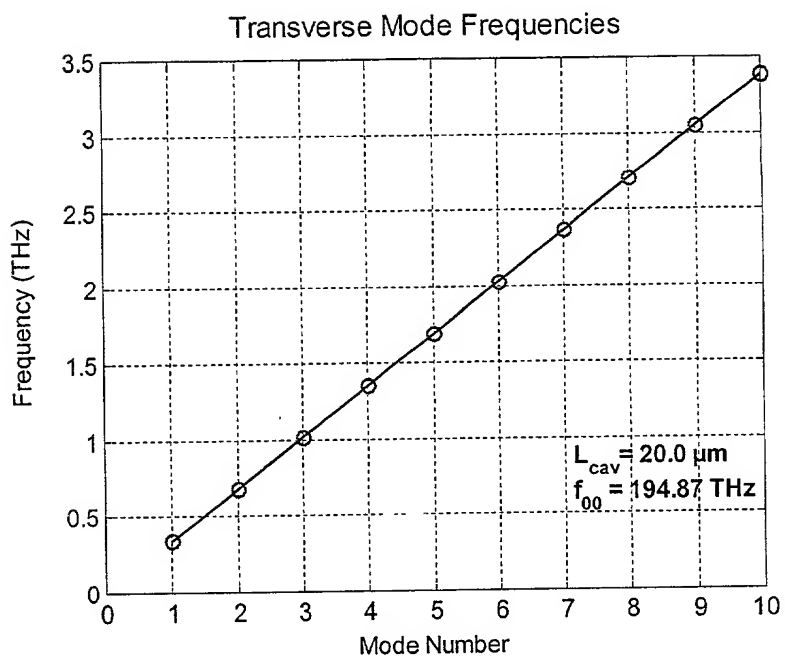


Fig. 4.

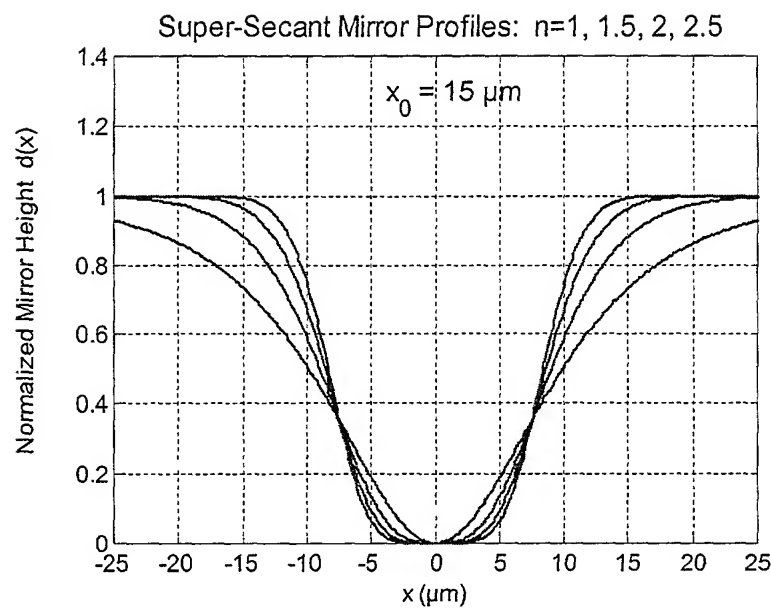


Fig. 5.

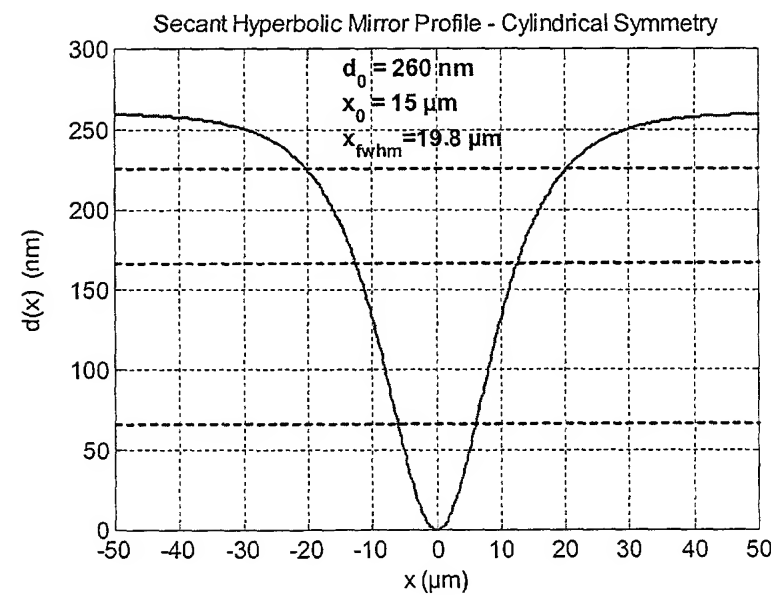


Fig. 6.

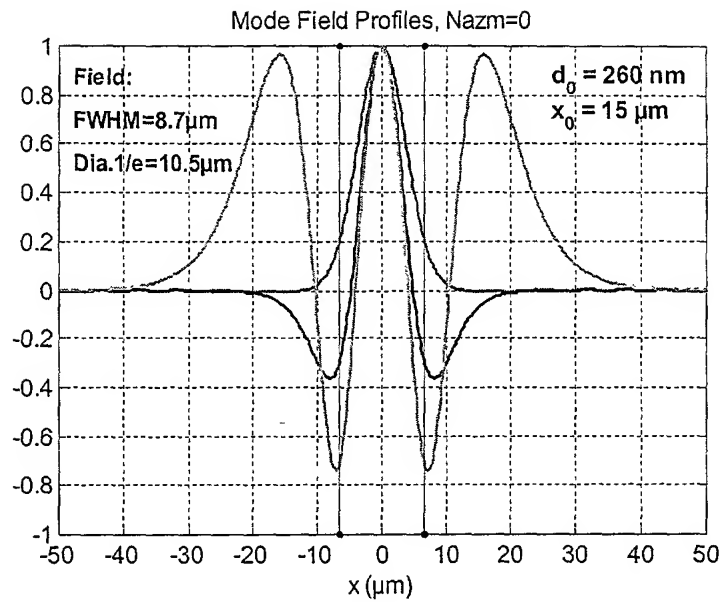


Fig. 7.

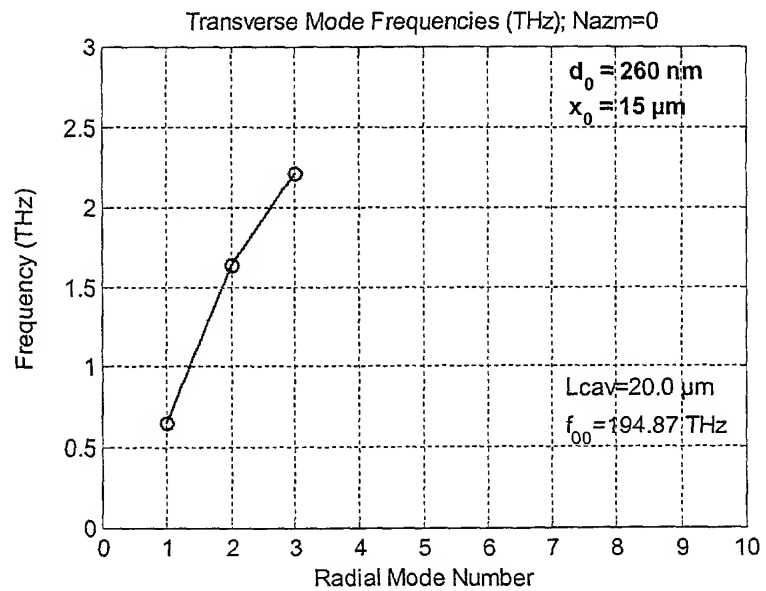


Fig. 8.

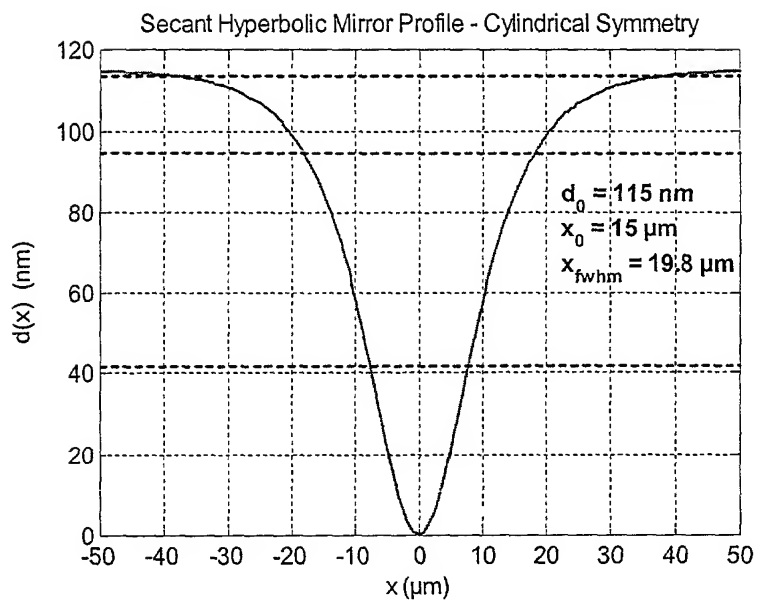


Fig. 9.

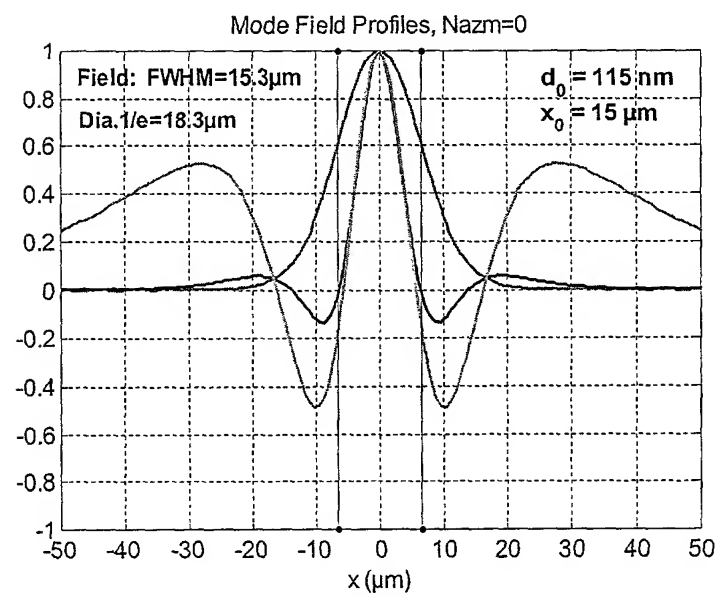


Fig. 10.

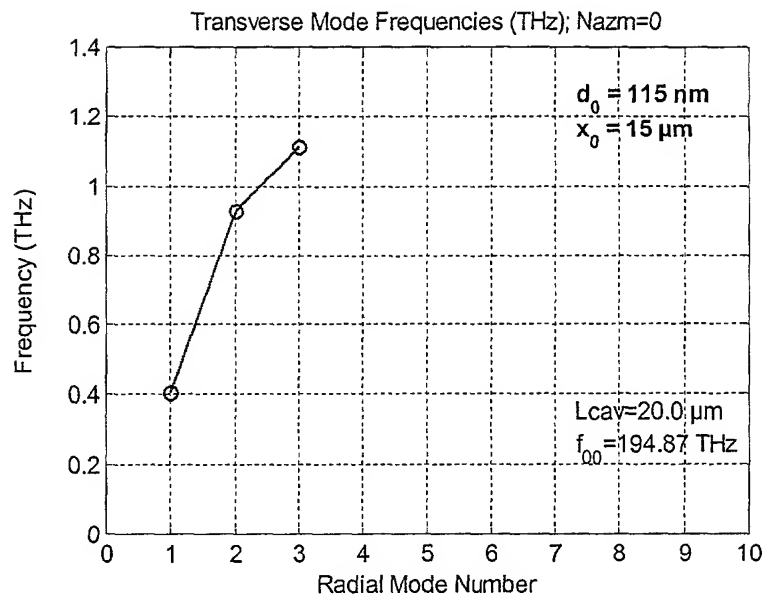


Fig. 11.

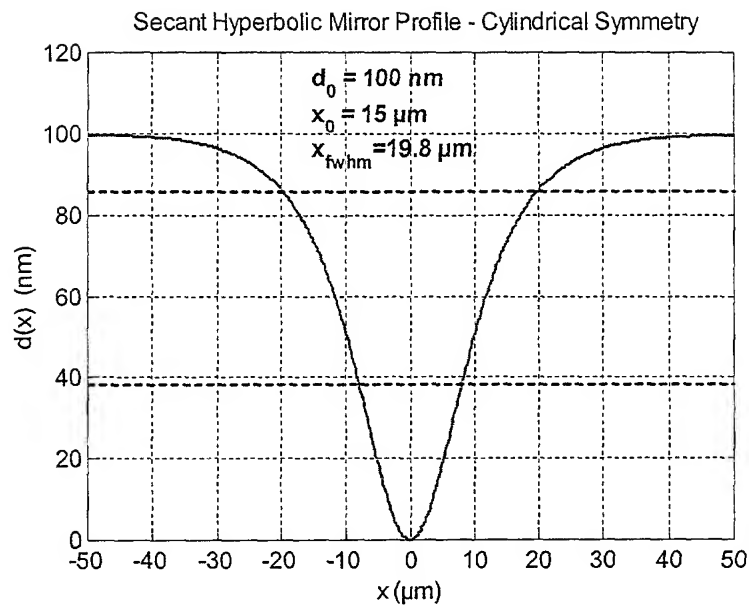


Fig. 12.

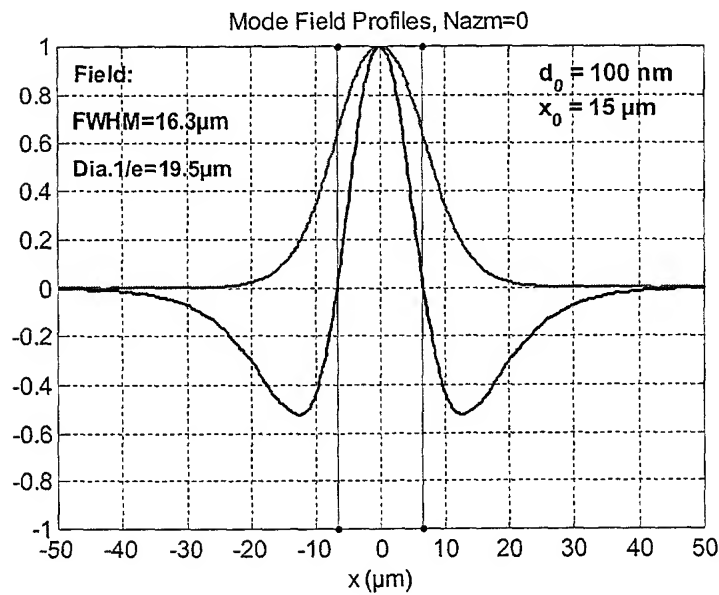


Fig. 13.

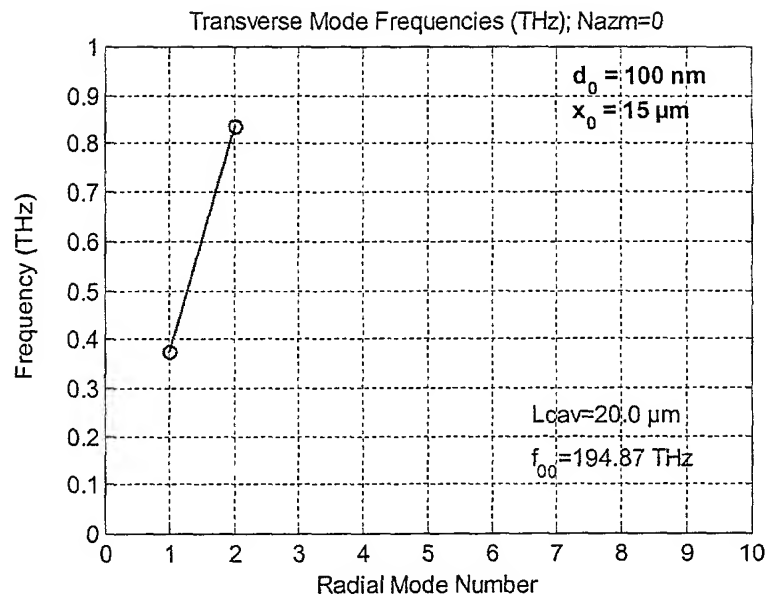


Fig. 14.

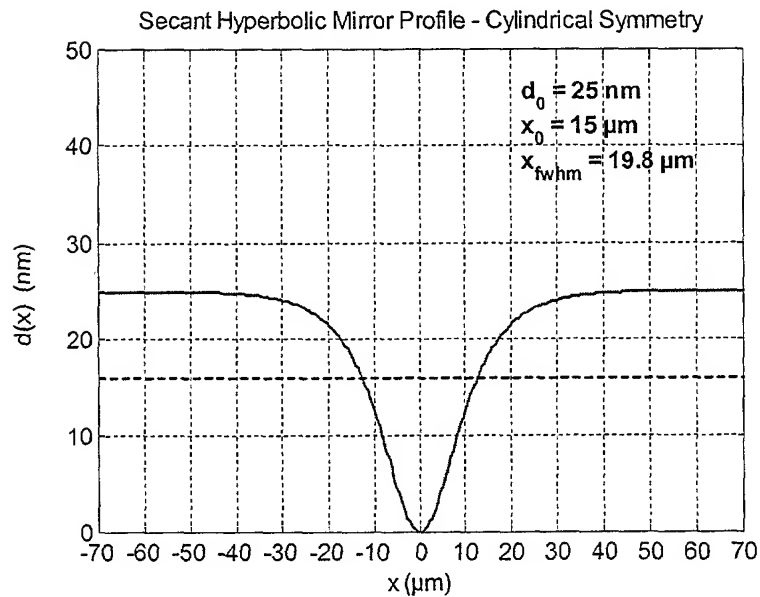


Fig. 15.

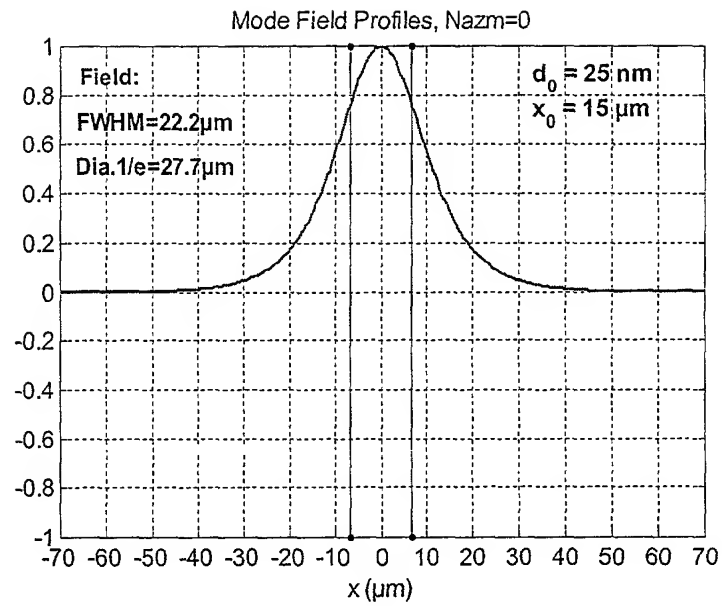


Fig. 16.

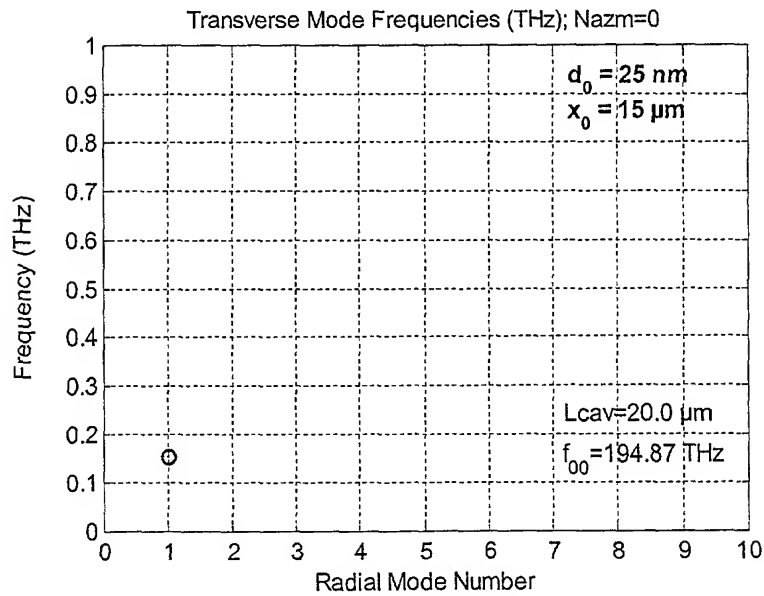


Fig. 17.

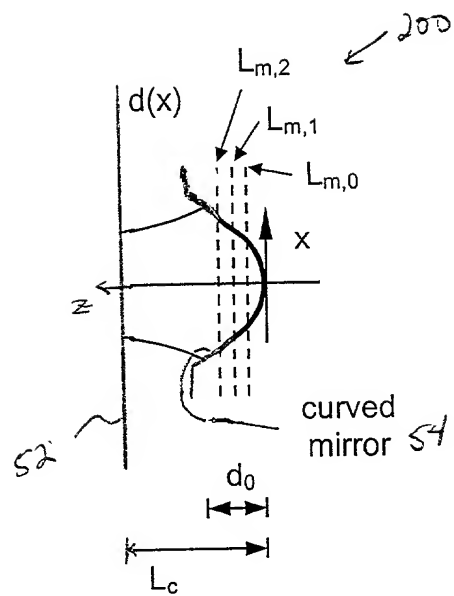


Fig. 18.

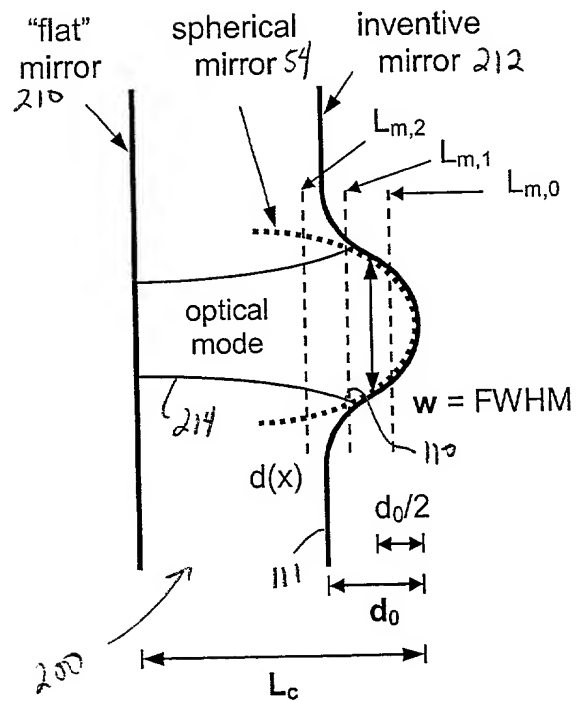


Fig. 19.

Transverse Modes of a Secant Hyperbolic Mirror
Optical Resonator

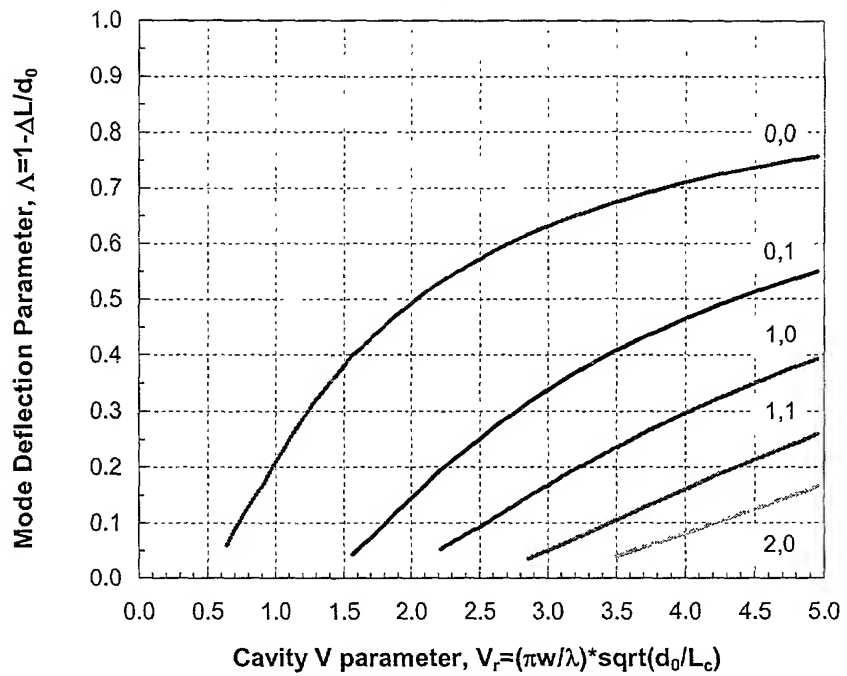


Fig. 20.

Transverse Modes - Secant Hyperbolic Mirror Resonator

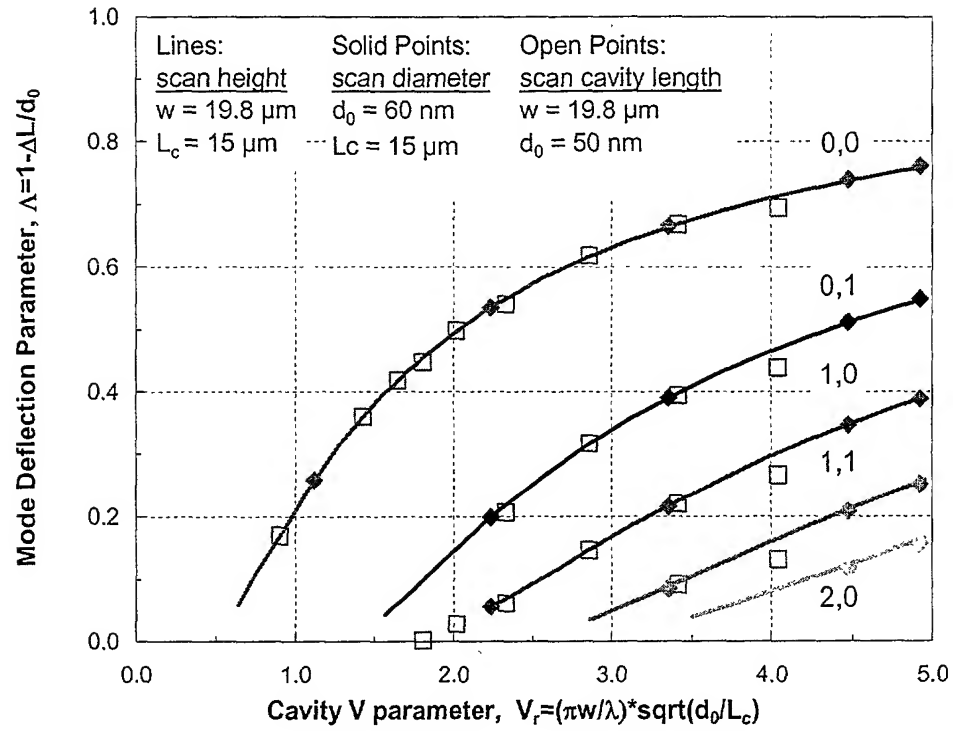


Fig. 21.

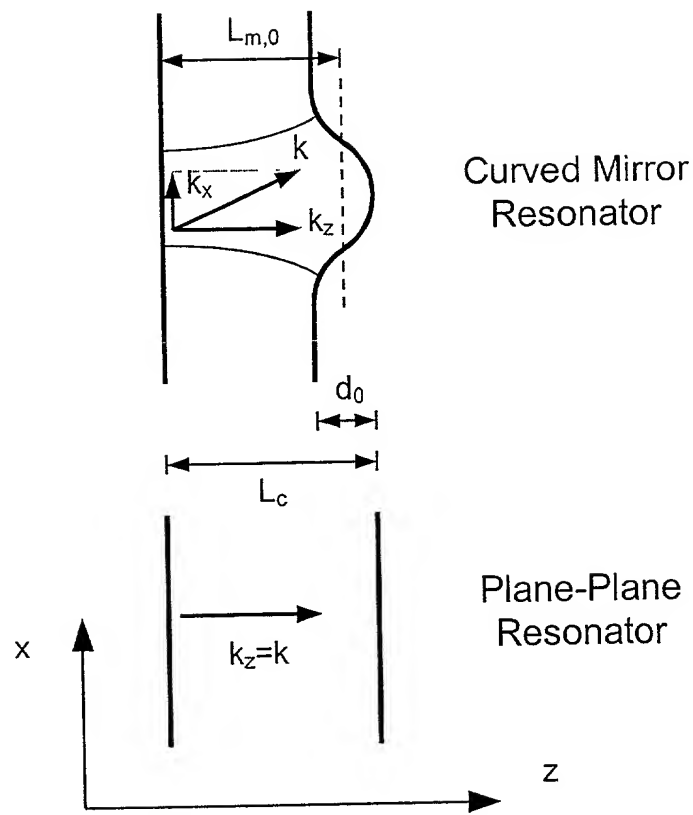


Fig. 22.

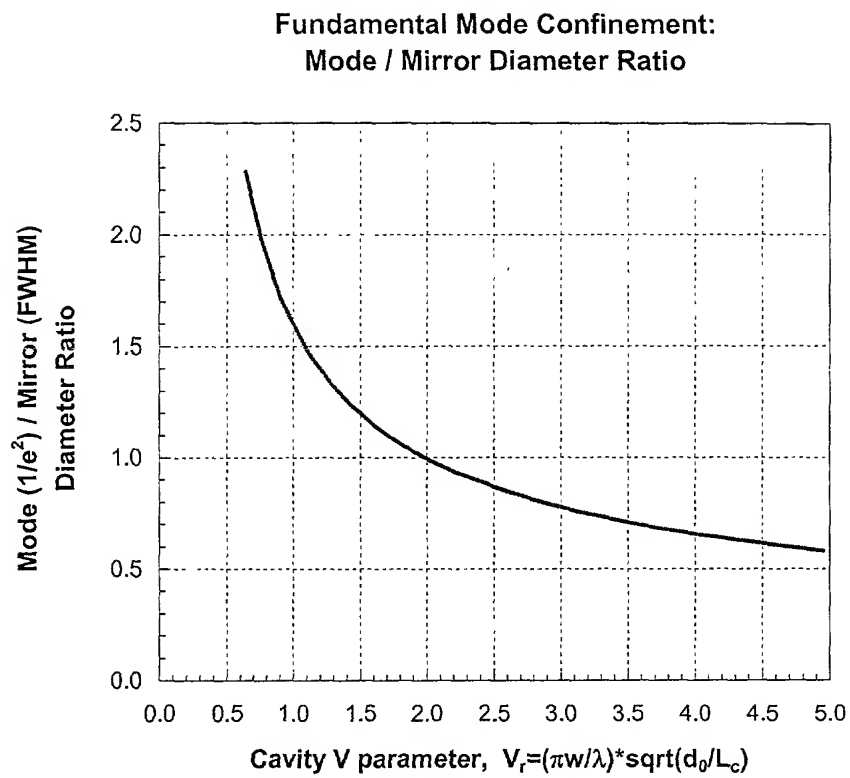


Fig. 23.

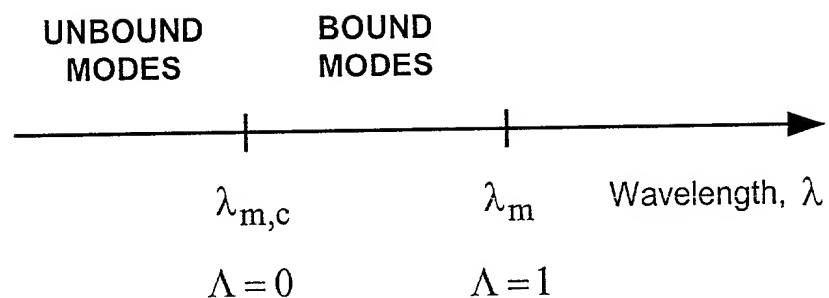


Fig. 24.

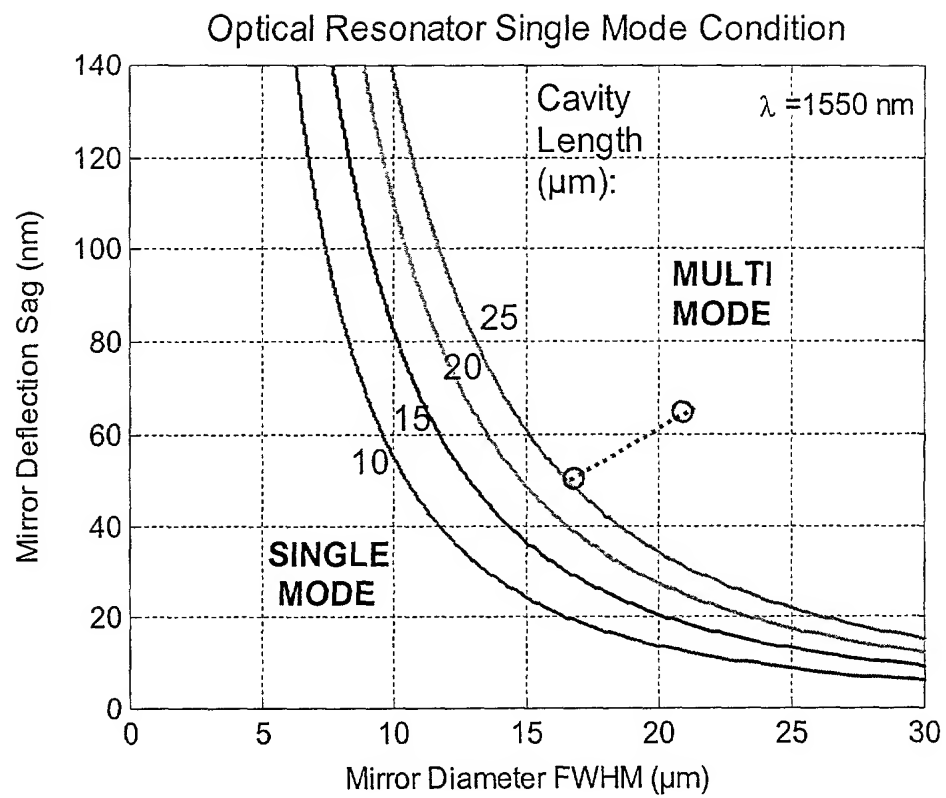


Fig. 25.

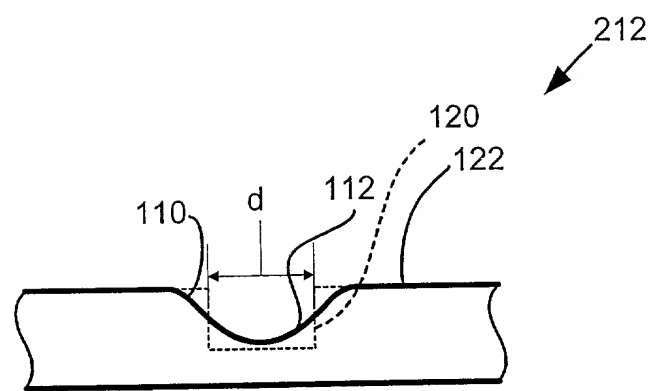


Fig. 26

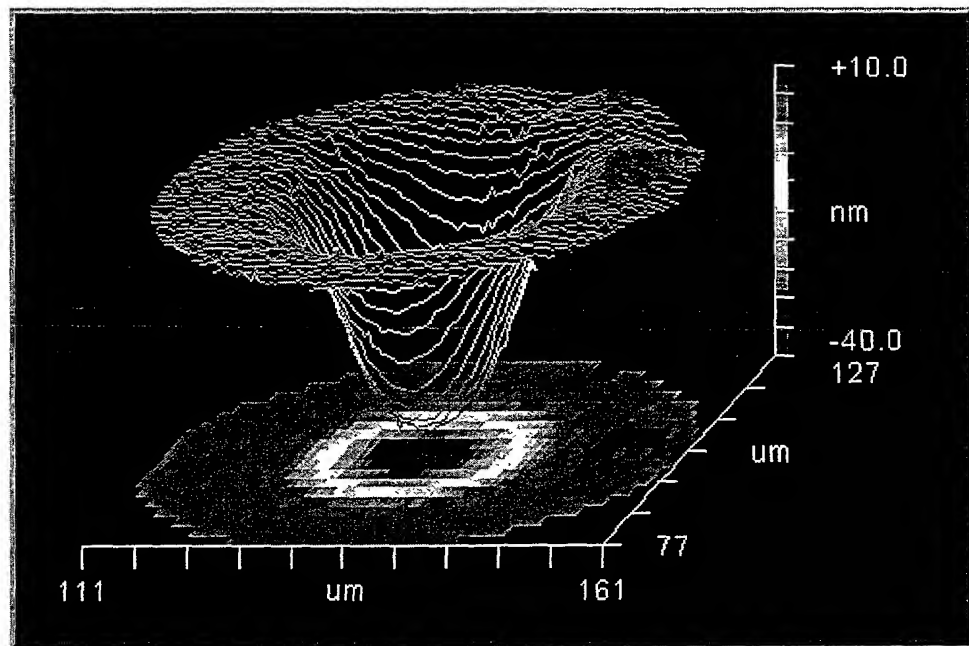


Fig. 27A.

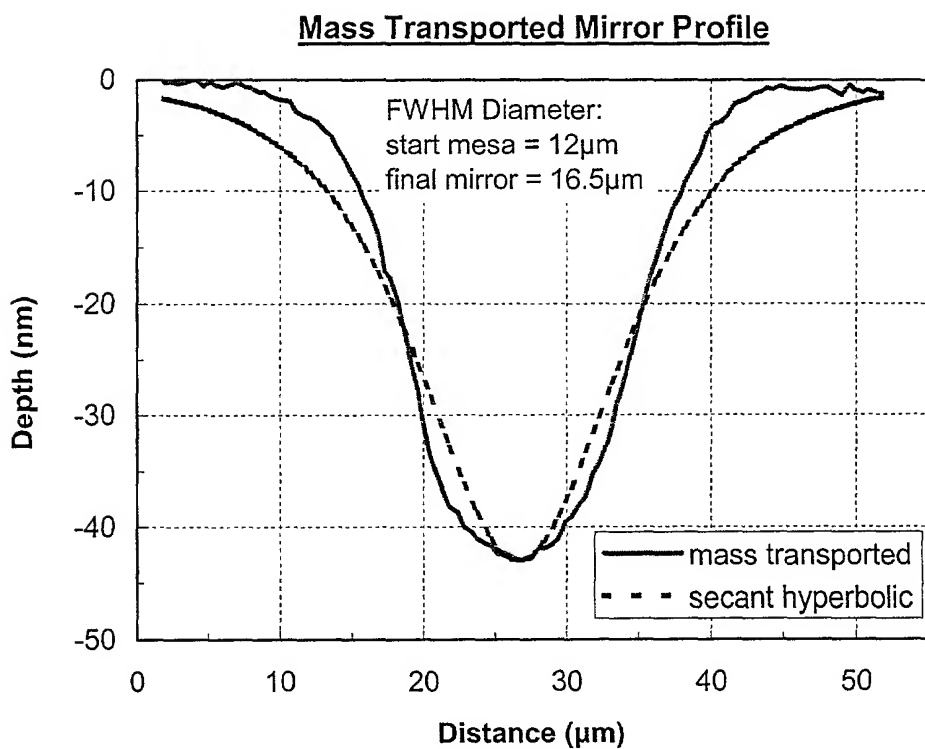


Fig. 27B.

Transverse Modes of Optical Resonators with Finite Depth Mirrors

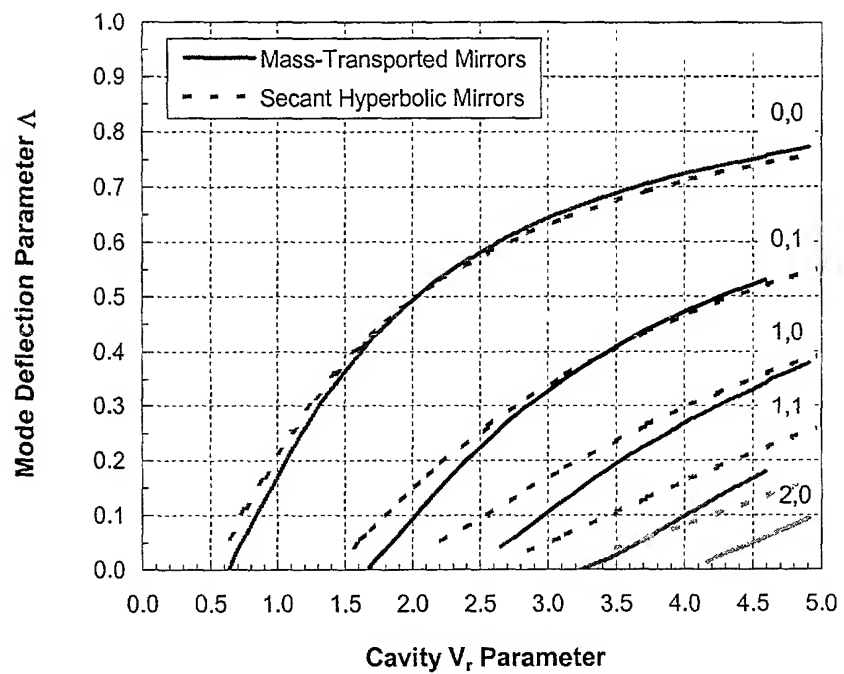


Fig. 28.

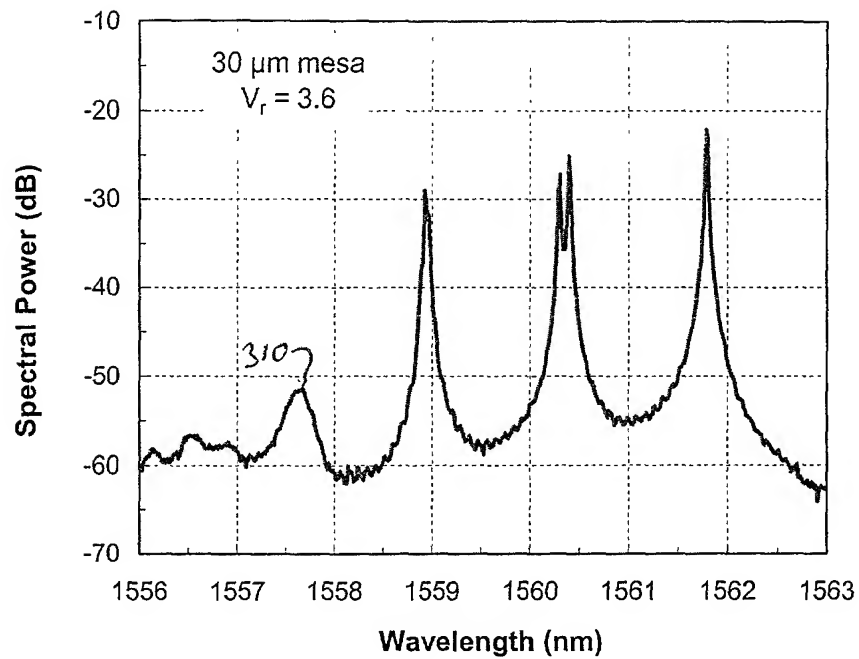


Fig. 29A.

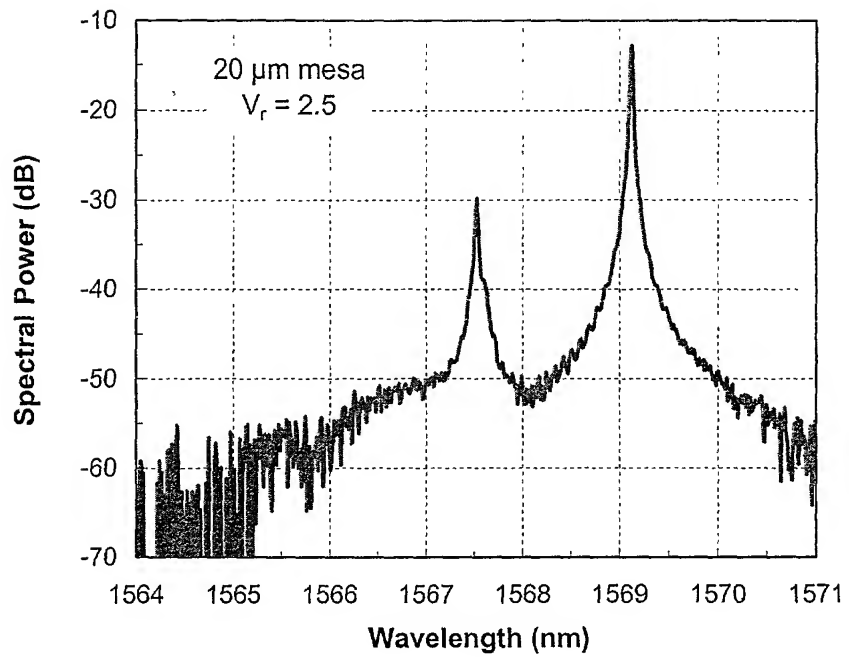


Fig. 29B.

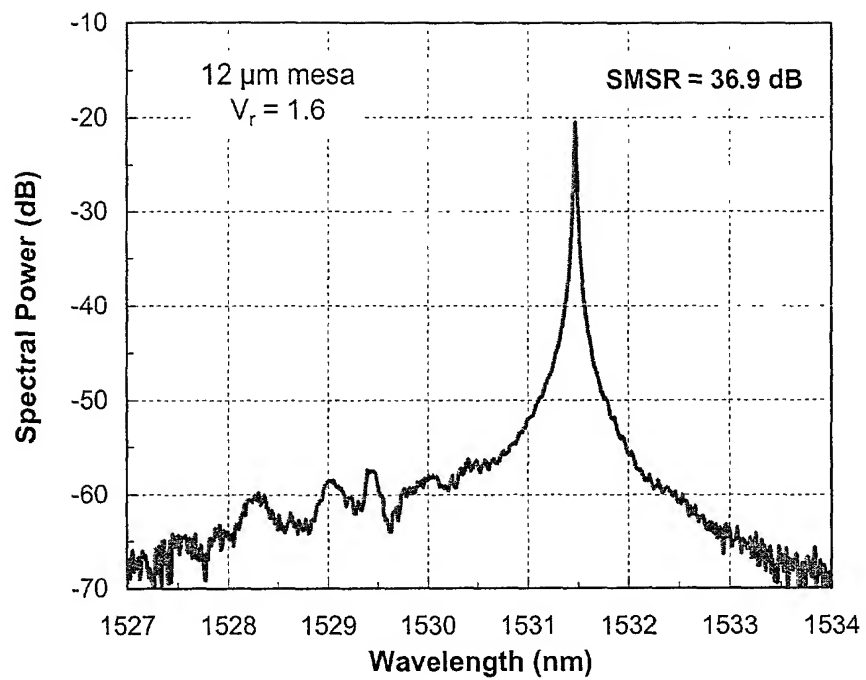


Fig. 29C.

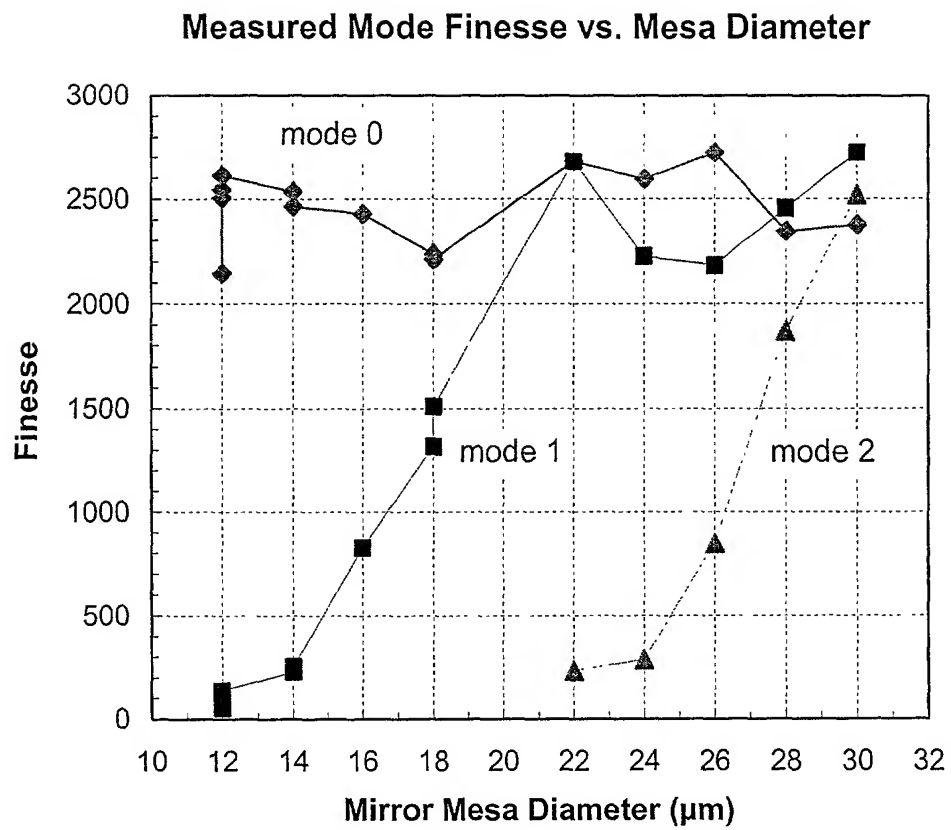


Fig. 30.

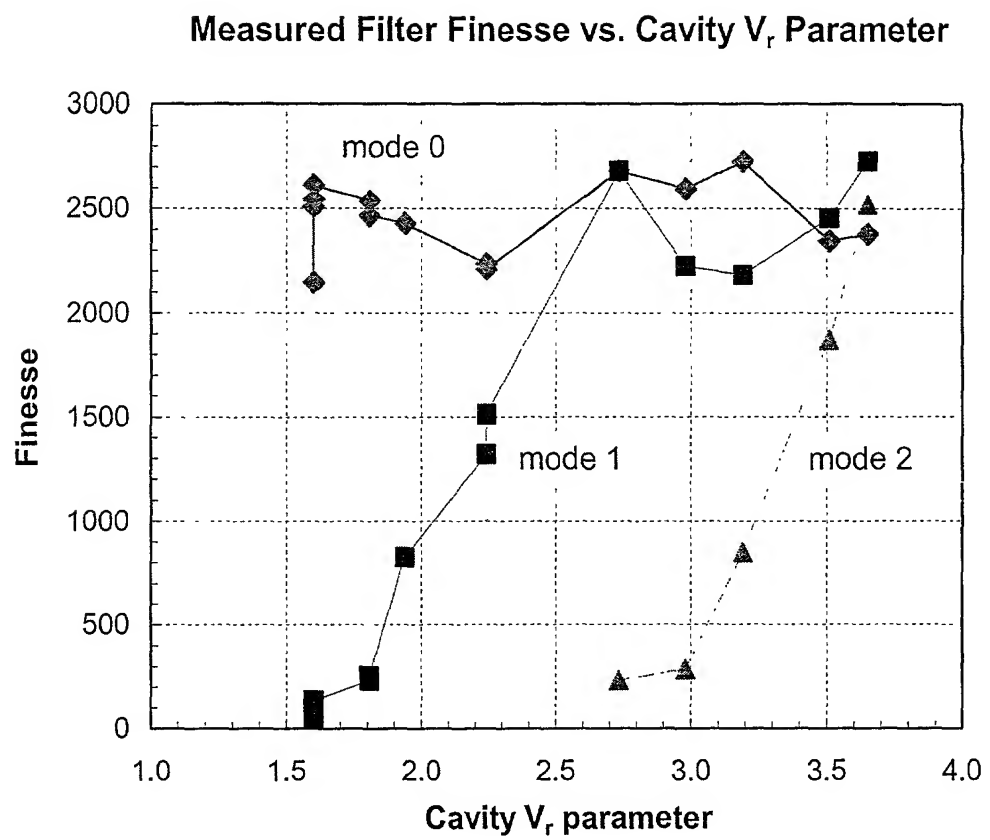


Fig. 31.

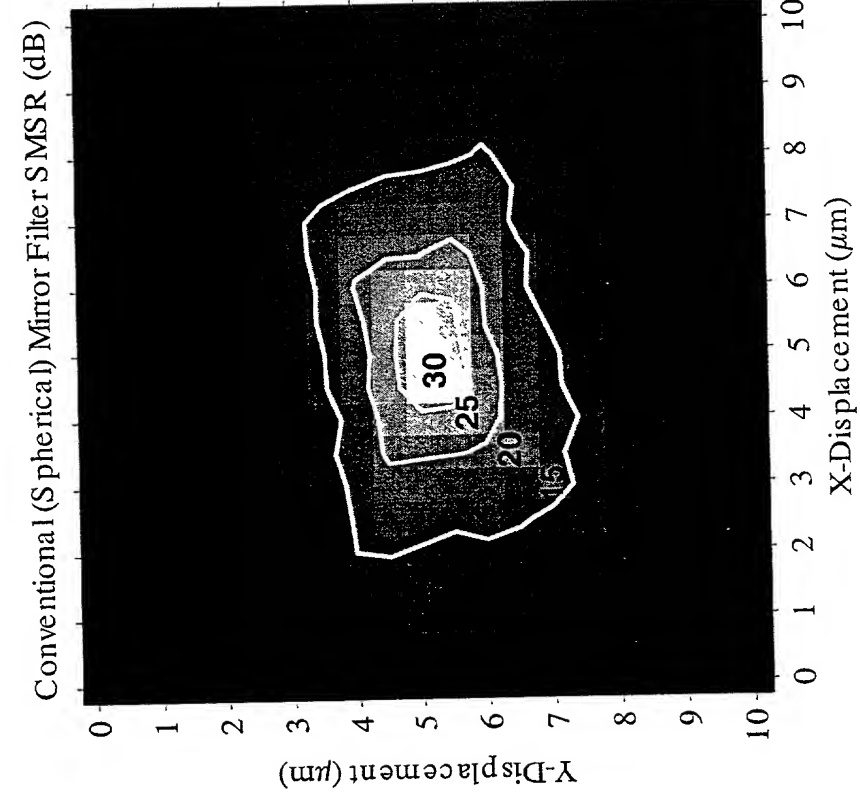


Fig. 32 A

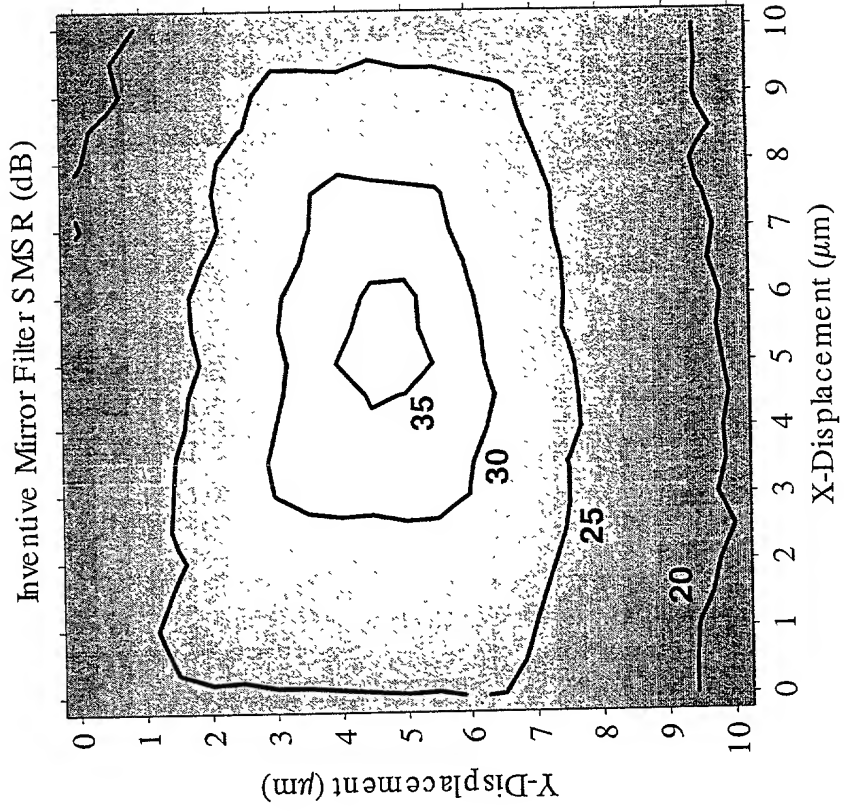


Fig. 32 B

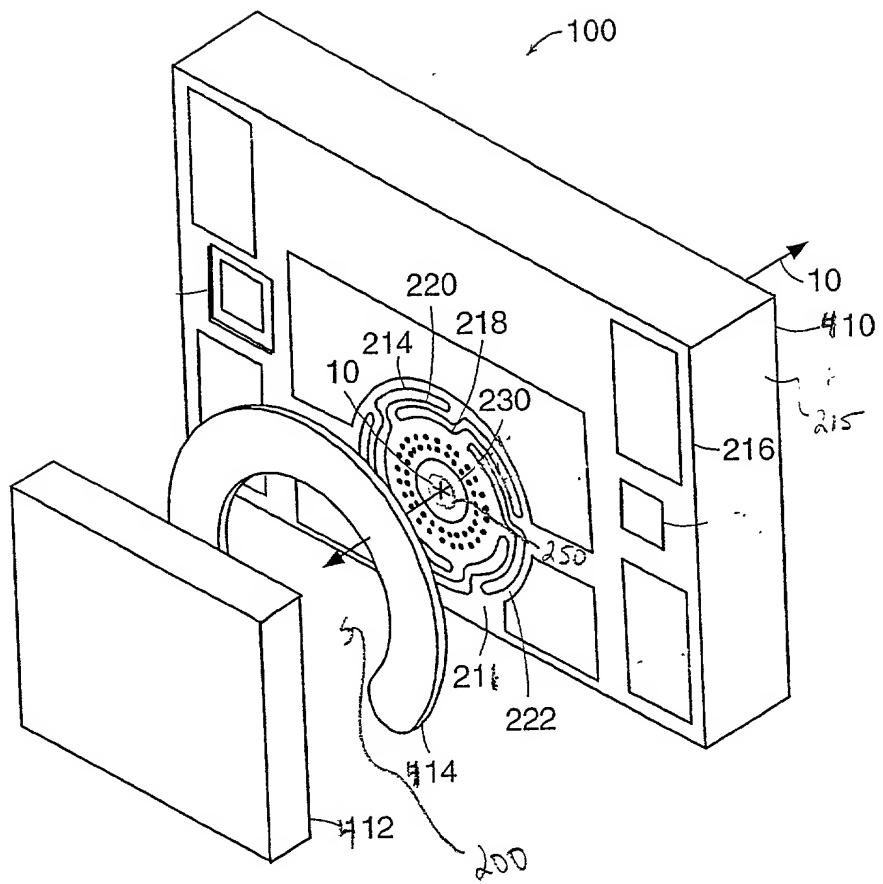


FIG. 33

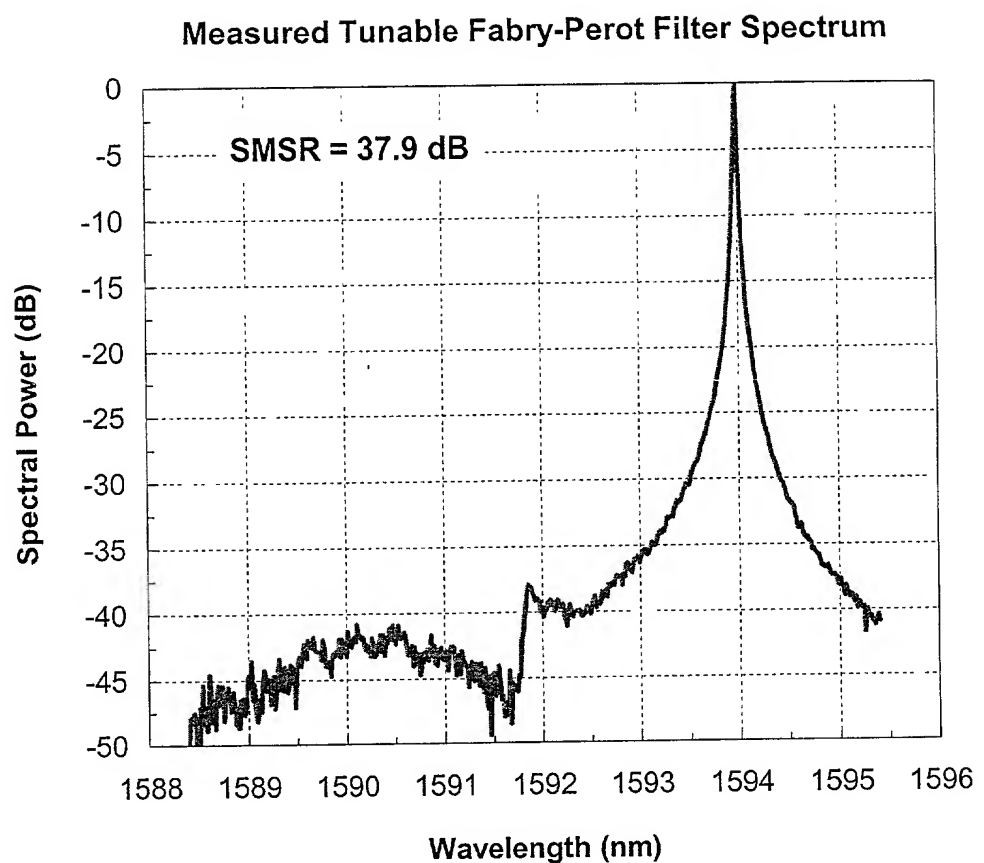


Fig. 34

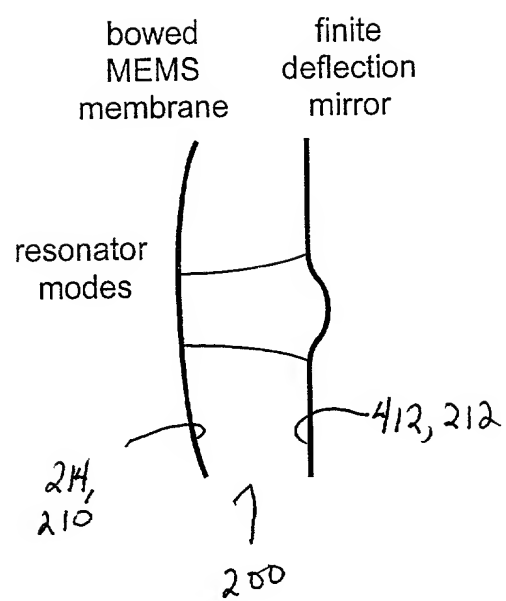


Fig. 35

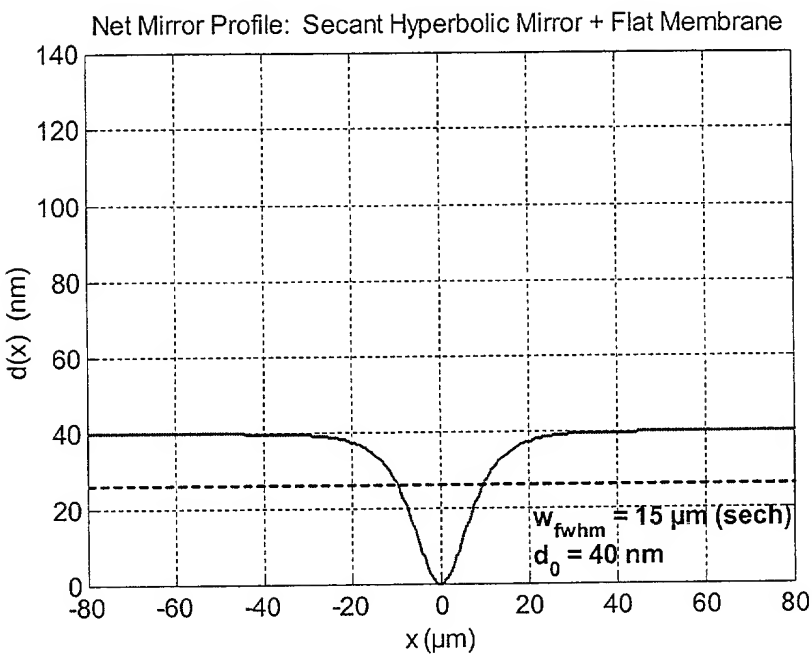


Fig. 36A

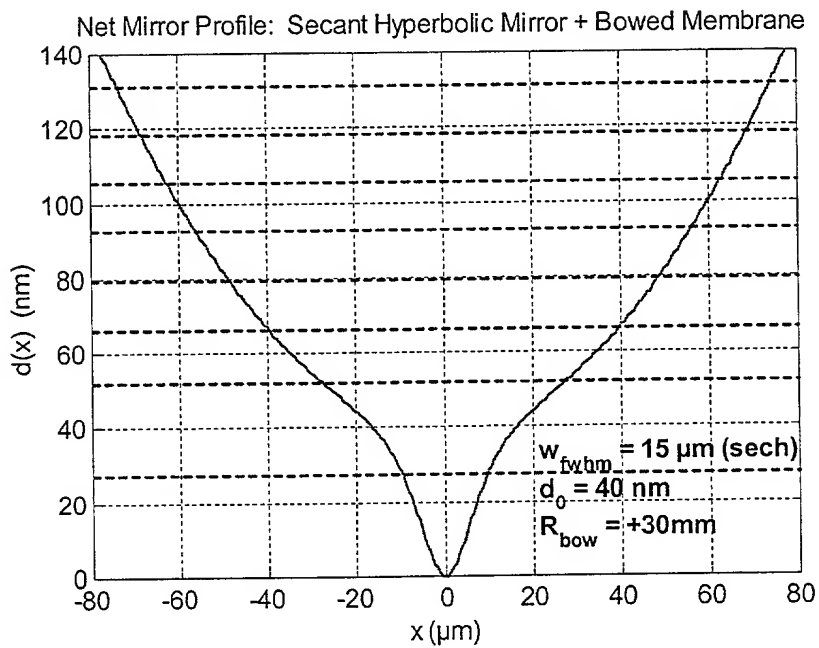


Fig. 36B

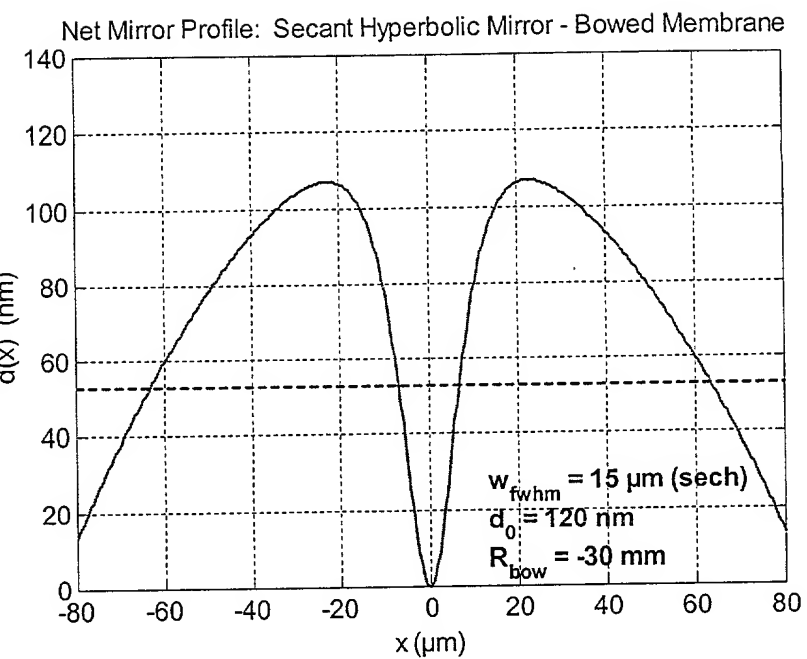


Fig. 3a

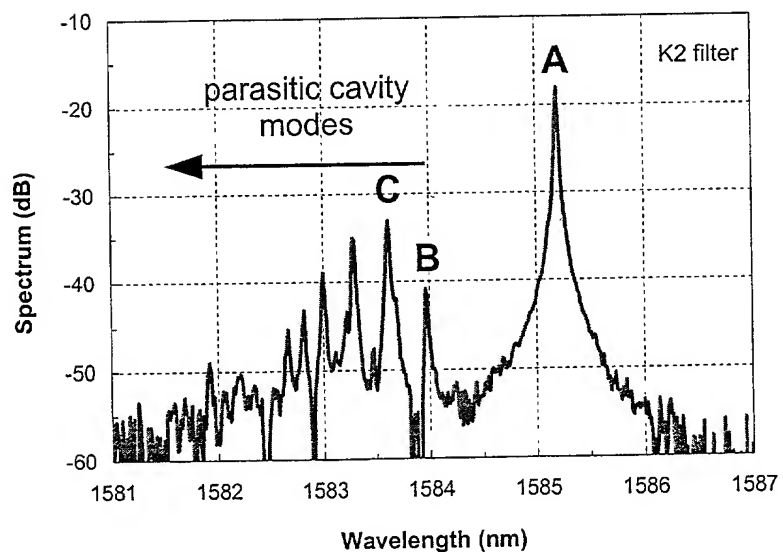


Fig. 37